

그림 2. 1회선 송전선의 지락고장

$$V_a = Z_L(I_a + 3K_N I_0) \quad (3)$$

여기서,  $K_N = \frac{Z_0 - Z_1}{3Z_1}$  (영여분 보상계수)

(2) 2회선 송전선로 지락고장

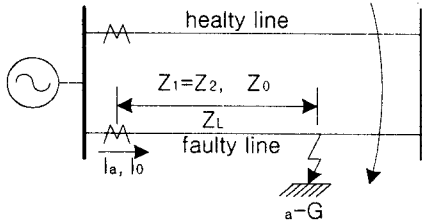


그림 3. 2회선 송전선로에서의 지락고장

그림 3과 같은 2회선 송전선의 경우 계전기가 측정하는 임피던스 전압은 다음과 같이 표현되어진다.

$$V_a = Z_L(I_a + K_N \cdot 3I_0 + K_M 3I_0) \quad (4)$$

여기서,  $K_N = \frac{Z_0 - Z_1}{3Z_1}$  : 영여분 보상계수  
 $K_M = \frac{Z_M}{3Z_1}$  : 상호전류 보상계수

이상과 같이 대상 송전선의 선로정수로부터 결정되는 상수 값으로서 각각  $3I_0$ 와  $3I_0$ 를 이용하여 간단히 고장점까지의 임피던스를 구할 수 있다.

### 3. 전류분배 계수를 이용한 고장점 표정 알고리즘

그림 4의 A에서 측정되는 복소 임피던스는 다음과 같이 표현이 된다.

$$Z_A = V_A / I_A = Z_{LA} + (I_F / I_A) R_F \quad (5)$$

총 고장전류  $I_F$ 는 그림 4(c)에서의  $I_{FA}$ 와 그림 4(b)에서의 부하전류  $I_L$ 로의 순수한 고장 전류로 구성이 된다.

$$I_A = I_{FA} + I_L \quad (6)$$

순수 고장 전류  $I_{FA}$ 는 전류  $I_F$ 의 일부이다.

$$I_{FA} = D_A I_F \quad (7)$$

여기서,  $D_A = de^{j\gamma}$  (순수 복소 고장 전류 분포 요소)

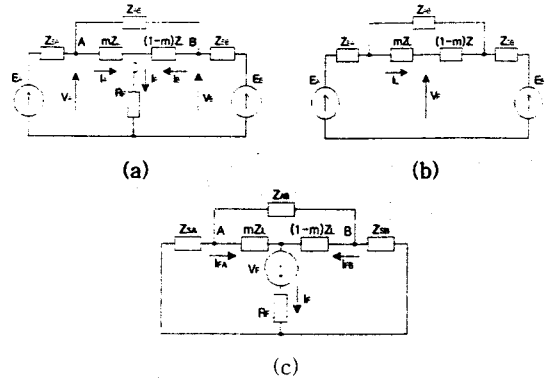


그림 4. 고장 계통 분해도

분배계수  $D_A$ 는 전압  $E_A$ 와  $E_B$ 의 크기와 위상에 의존하지 않고 계통의 구성에만 의존한다. 그림 4(c)에서 보여주는 시스템에서  $D_A$ 는 다음과 같이 된다.

$$D_A = \frac{I_{FA}}{I_F} = \frac{(1-m)Z_L + \frac{Z_{AB}Z_{SB}}{Z_{SA} + Z_{SB} + Z_{AB}}}{mZ_L + \frac{Z_{AB}Z_{SA}}{Z_{SA} + Z_{SB} + Z_{AB}} + (1-m)Z_L + \frac{Z_{AB}Z_{SB}}{Z_{SA} + Z_{SB} + Z_{AB}}} = \frac{Z_{SB}Z_{AB} + (1-m)Z_L(Z_{SA} + Z_{SB} + Z_{AB})}{(Z_{SA} + Z_{SB})Z_{AB} + Z_L(Z_{SA} + Z_{SB} + Z_{AB})} \quad (8)$$

그림 4에서 F지점에 저항을 동반한 고장이 발생하였다고 가정하면, A 변전소에서의 고장 발생 전 전압은

$$V_L = V_F + I_L m Z_L \quad (9)$$

여기서,  $I_L$  : 고장발생 전의 부하전류

$V_L$  : 고장발생 전의 S 변전소의 정상분 전압

와 같고, 고장 발생 이후의 정상분 전압의 변화량은

$$V_L = D_A I_F m Z_L + I_F R_F - V_F \quad (10)$$

여기서,  $V_F$  : 고장 발생 이후 A 변전소의 정상분 전압 변화량이고, 계전기가 측정하는 실제 전압은

$$V_A = V_L + V_F = V_F + I_L(mZ_L) + D_A I_F(mZ_L) + I_F R_F - V_F = I_L(mZ_L) + (D_A m Z_L + R_F) I_F = I_A m Z_L + \left( \frac{I_{FA}}{D_A} \right) R_F \quad (11)$$

이것 다음과 같이 나타낼 수 있다.

$$V_A = I_A m Z_L + \left( \frac{I_{FA}}{D_A} \right) R_F = I_A m Z_L + \frac{I_{FA} R_F}{\frac{Z_{SB}Z_{AB} + (1-m)Z_L(Z_{SA} + Z_{SB} + Z_{AB})}{(Z_{SA} + Z_{SB})Z_{AB} + Z_L(Z_{SA} + Z_{SB} + Z_{AB})}} \quad (12)$$

위의 식에서

$$\begin{aligned} Z_L(Z_{SA} + Z_{SB} + Z_{AB}) &= S_1 \\ Z_{AB}Z_{SB} &= S_2 \\ (Z_{SA} + Z_{SB})Z_{AB} &= S_3 \end{aligned} \quad (13)$$

이라 하면

$$\begin{aligned} V_A &= \frac{I_A m Z_L \{S_2 + (1-m)S_1\} + I_{FA} (S_3 + S_1) R_F}{S_2 + (1-m)S_1} \\ m^2 - K_1 m + (K_2 - K_3 R_F) &= 0 \end{aligned} \quad (14)$$

$$\begin{aligned} \text{여기서, } K_1 &= 1 + \frac{S_2}{S_1} + \frac{V_A}{I_A Z_L} \\ K_2 &= \frac{V_A}{I_A} \left( \frac{1}{Z_L} + \frac{S_2}{Z_L S_1} \right) \\ K_3 &= \frac{I_{FA}}{I_A} \left( \frac{1}{Z_L} + \frac{S_3}{Z_L S_1} \right) \end{aligned}$$

한편, 위의 계수  $K_1, K_2, K_3$ 는 복소값을 가지므로,

$$K_1 = a_1 + jb_1, \quad K_2 = a_2 + jb_2, \quad K_3 = a_3 + jb_3 \quad (15)$$

라 놓으면, 위의 식은 다음과 같이 표현이 되며

$$m^2 - m(a_1 + jb_1) + (a_2 + jb_2) - (a_3 + jb_3)R_F = 0 \quad (16)$$

실수부와 허수부를 분리하여 정리하면 식(17)이 된다.

$$\begin{aligned} m^2 - ma_1 + a_2 - a_3 R_F &= 0 \\ -b_1 m + (b_2 - b_3) R_F &= 0 \end{aligned} \quad (17)$$

위의 두 식을 정리하면,

$$m^2 - Am + B = 0 \quad (18)$$

$$\text{여기서, } A = \left( a_1 - \frac{a_3}{b_3} b_1 \right), \quad B = \left( a_2 - \frac{a_3}{b_3} b_2 \right)$$

로 된다. 이와 같은 기법을 이용한 고장점 표정 알고리즘은 기존의 고장점 위치를 정확히 계산하는데 있어서 까다로운 요소로 작용했던 고장 저항  $R_F$ 의 크기에 전혀 무관하게 고장점을 계산할 수가 있다.

#### 4. 모델전력계통과 시뮬레이션

##### 4.1 모델전력계통

제시한 기법의 타당성을 검증하기 위하여 그림 5와 같은 최대 160 [km]의 공장을 갖는 3Φ 154 [kV] 2회선 송전선로를 EMTP로 모의하였다. 샘플링주파수는 720[Hz]인 주기당 12 샘플링의 데이터(12 c/s)로 하였다. 시뮬레이션은 정상상태와 여러 가지 고장을 모의하였으며, 직류 옵셋 영향과 고조파 성분 영향과 특히, 고장저항에 대한 영향을 조사하였다.

##### 4.2 시뮬레이션 결과 및 고찰

고장을 표정하기 이전, 전압신호는 LPF가 적용되고, 전류신호는 직류옵셋제거 필터가 선행필터로 사용된다. 그림 6은 정상상태이후, 약 2주기 시점에서 A상 1선지락 고장이 발생한 경우, 직류옵셋제거 필터를 통과시킨 전류신호 전후의 신호이다. 전류신호의 위상과 이득이 보상된 이후, 전압전류신호 모두는 DFT 필터를 통과시켜 고조파는 제거되고 기본파를 추출하게 된다.

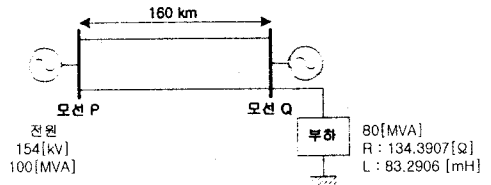


그림 5. 모델계통도

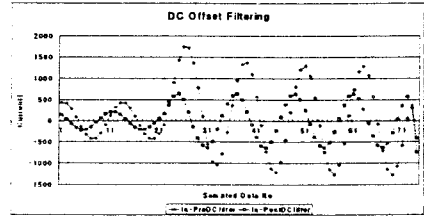


그림 6. 직류 옵셋 제거필터링

그림 7은 고장점 표정을 위한 임피던스 수렴도이다. 고장 발생 후, 약 1주기경에서 수렴되는 저항값과 리액턴스값을 이용하여 고장점이 산정된다.

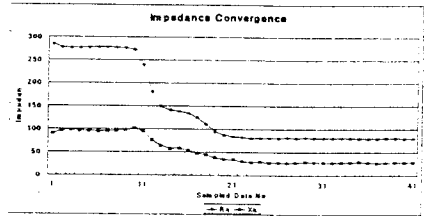


그림 7. 임피던스에 의한 고장점 표정

## 5. 결 론

지금까지의 연구된 고장점 표정의 방법들에서는, 고장 저항으로 인해 표정의 심각한 에러가 발생되었다. 이에 본 논문에서는 실시간 구현이 용이하고 고장저항에 영향을 받지 않는 고장 표정 알고리즘을 제안하였으며, 종래의 기법들과 비교 검토함으로써 제안된 기법의 우수성을 입증하였다.

### [참 고 문 헌]

1. A. Wiszniewski, "Accurate fault impedance locating algorithm", IEEE Proceedings, Vol. 130, Pt. C, No. 6, pp. 311-314, November 1983.
2. Toshihisa Funabashi et al., "Fault Locator Simulation Using Models Language", IEEE Catalogue No. 98EX137, pp. 601-606, 1998.
3. T.Takagi, et al., "A New Algorithm Of An Accurate Fault Location For EHV/UHV Transmission Lines : Part I - Fourier Transformation Method", IEEE Trans. on PAS., Vol. PAS-100, No. 3, pp. 1316-1323, March 1981.
4. G.D. Rockefeller et al., "An Accurate Fault Locator With Compensation For Apparent Reactance In The Fault Resistance Resulting From Remote-End Infeed", IEEE Trans. on PAS., Vol. PAS-104, No. 2, February 1985.
5. Chih-Wen Liu et al., "An Adaptive Fault Locator System For Transmission Lines", Power Engineering Society Summer Meeting, IEEE, Vol. 2, pp. 930-936, 1999.
6. 강상희, 이승재 외, "전류 분배 계수를 사용하는 병행 2회선 송전선로 고장점 표정 알고리즘", 대한 전기학회 논문지, Vol. 50 No. 3 pp.146-152, 2001.